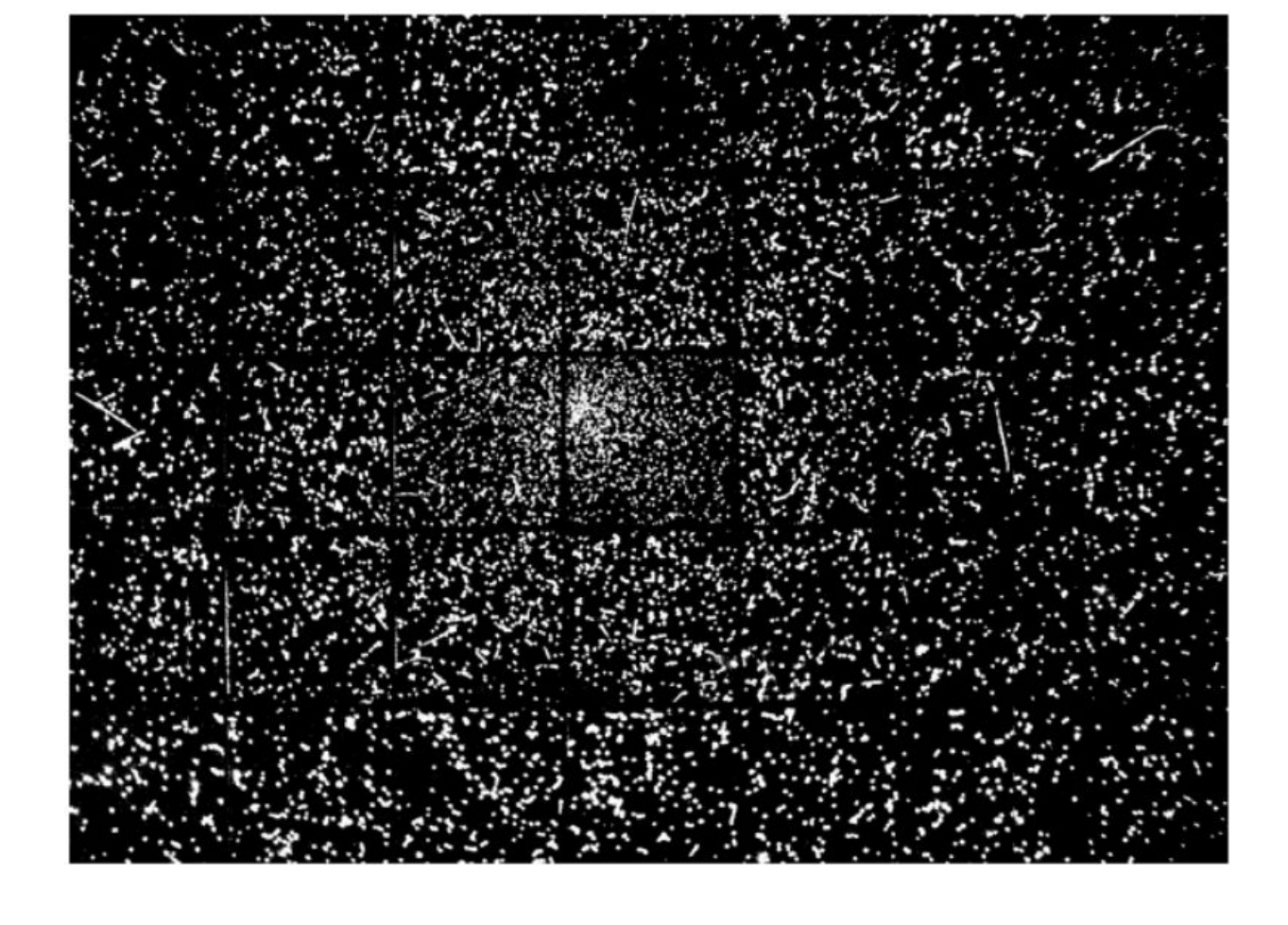
Coincidencias a nivel del suelo

P. Auger, R. Maze y T. Grivet-Meyer en 1938:

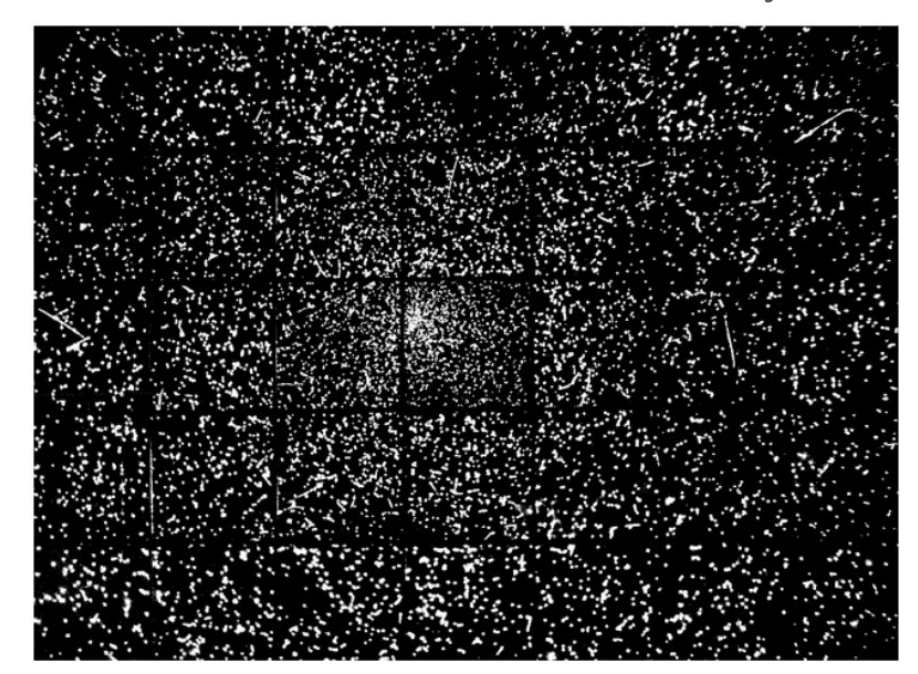
"Hemos puesto en evidencia coincidencias entre contadores separados horizontalmente por 5 m, mostrando que algunas lluvias pueden cubrir áreas mayores a 25 m2"



Lluvias atmosféricas extendidas

EAS, por sus siglas en inglés, son cascadas de partículas producida por la interacción de un RC primario con un núcleo de un elemento constituyente de la

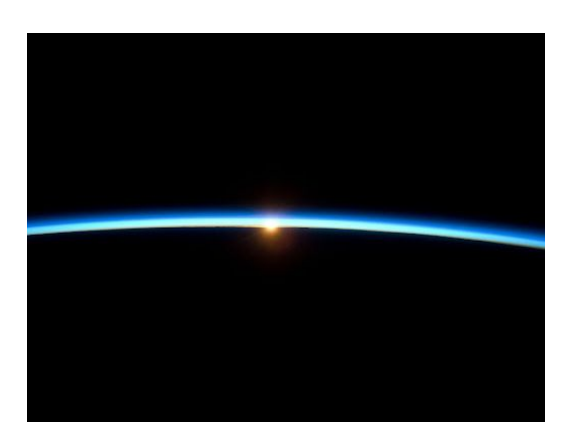
atmósfera



Profundidad atmosférica

profundidad atmosférica X(l) como la masa de aire por unidad de área que atravesó una partícula a lo largo de la atmósfera desde el infinito hasta la posición l a lo largo de la trayectoria que describe su movimiento:

$$X\left(l
ight)=\int_{l}^{\infty}
ho\left(l^{\prime}
ight)dl^{\prime}$$



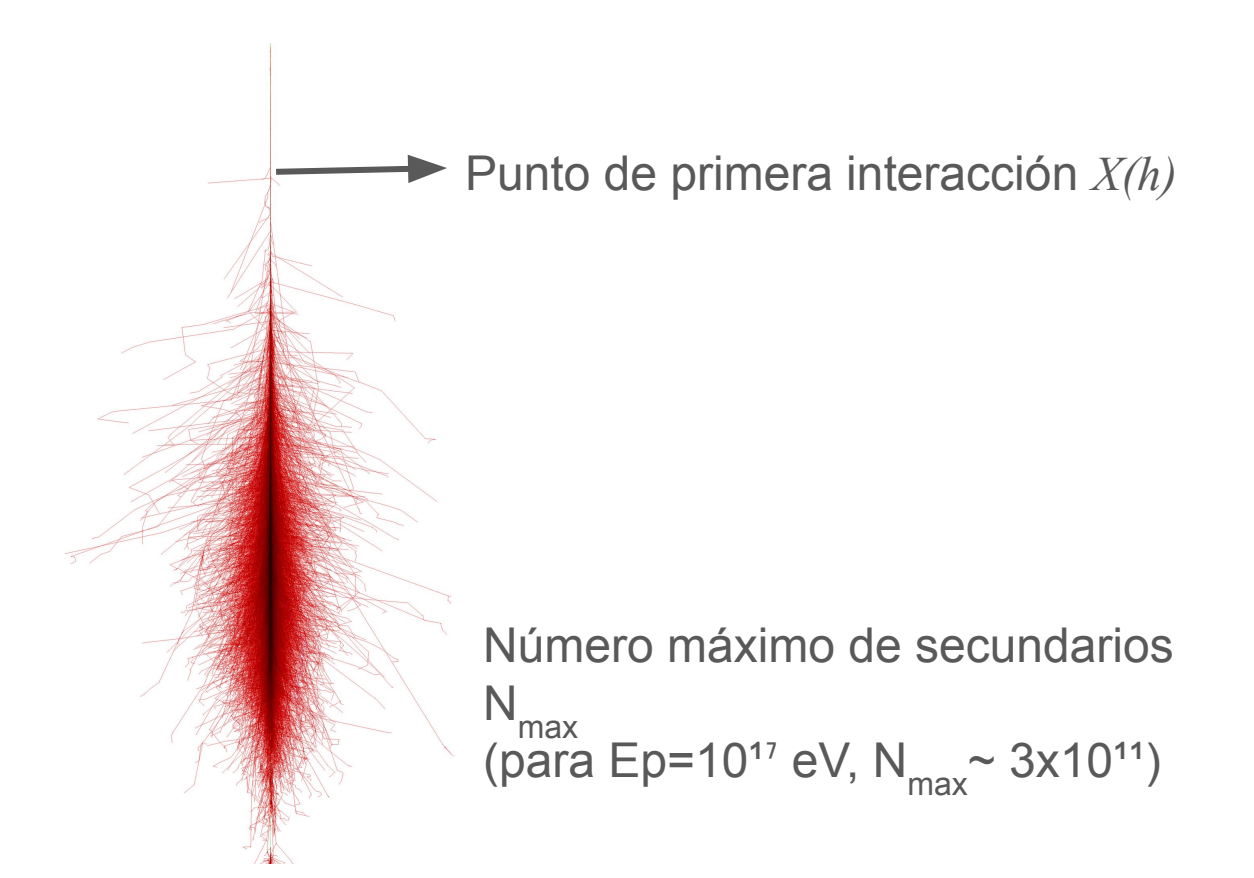
Profundidad atmosférica

profundidad atmosférica X(l) como la masa de aire por unidad de área que atravesó una partícula a lo largo de la atmósfera desde el infinito hasta la posición l a lo largo de la trayectoria que describe su movimiento:

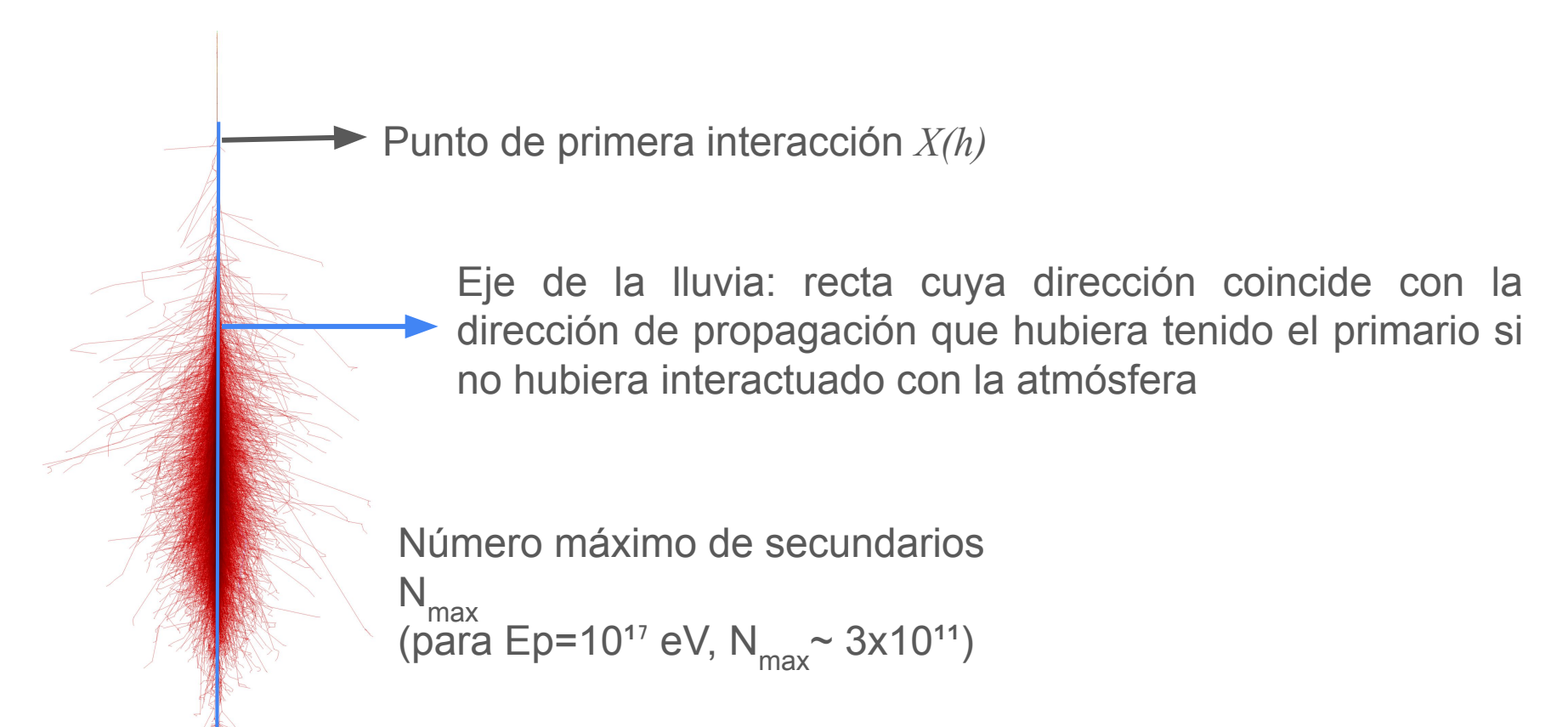
$$X\left(l
ight)=\int_{l}^{\infty}
ho\left(l^{\prime}
ight)dl^{\prime}$$

$$X(h) = \frac{P(h)}{g(h)}$$
 — La presión cambia localmente con el tiempo

El desarrollo de la lluvia



El desarrollo de la lluvia

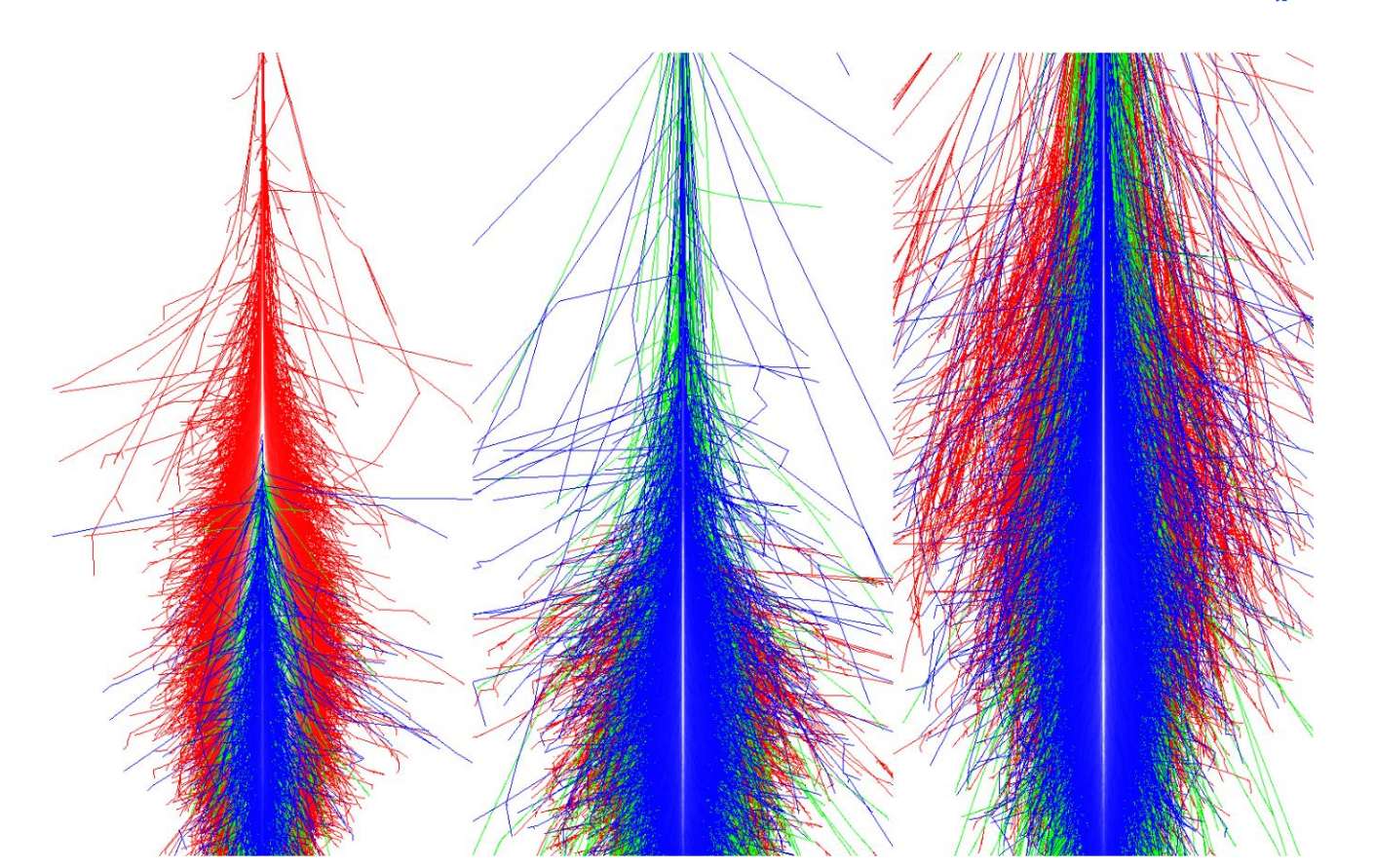


EM (γ, e[±]): 85%

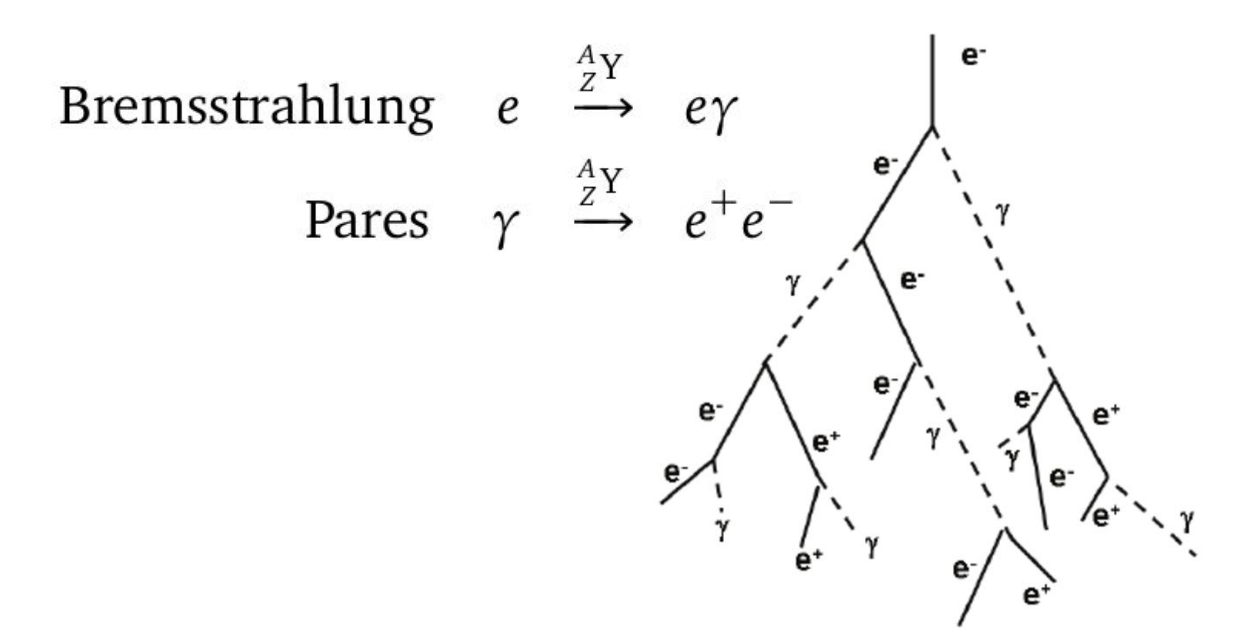
MU (μ[±]): 10%

HD (p, n, π^{\pm} , π^{0} , K^{\pm} ...): 5%

Componentes de las EAS



Dos canales de interacción



Dos canales de interacción

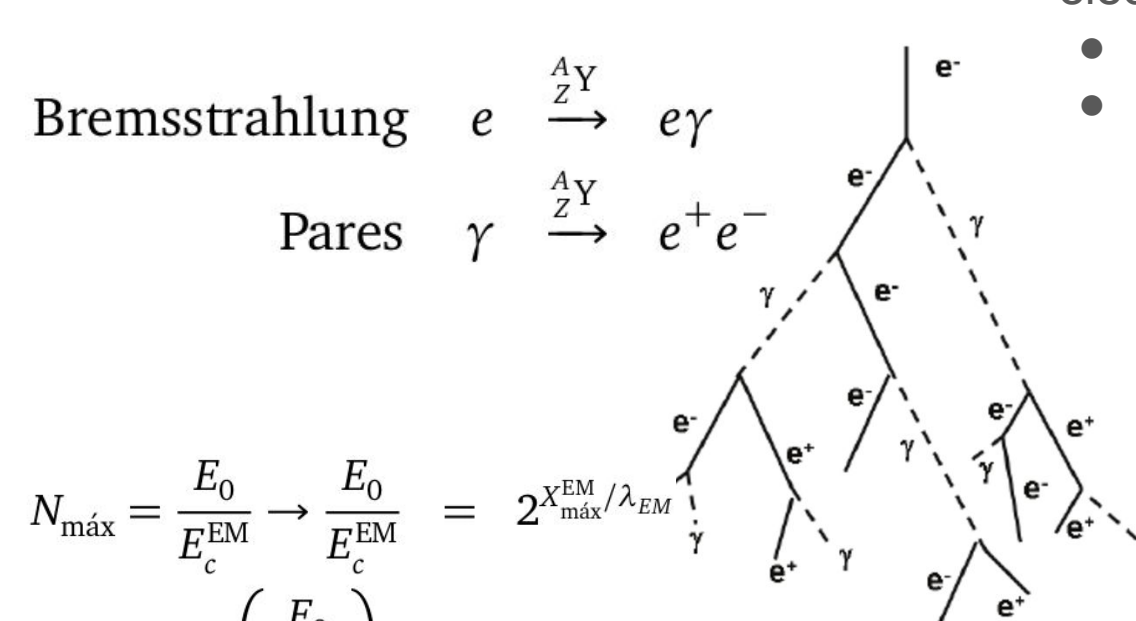
Bremsstrahlung

Longitud de interacción electromagnética:

- Un e⁻ pierde ~63% por frenado
- Un fotón recorre 7/9 del camino libre medio de producción de pares

$$X_{EM} = 37.1 \text{ gcm}^{-2}$$

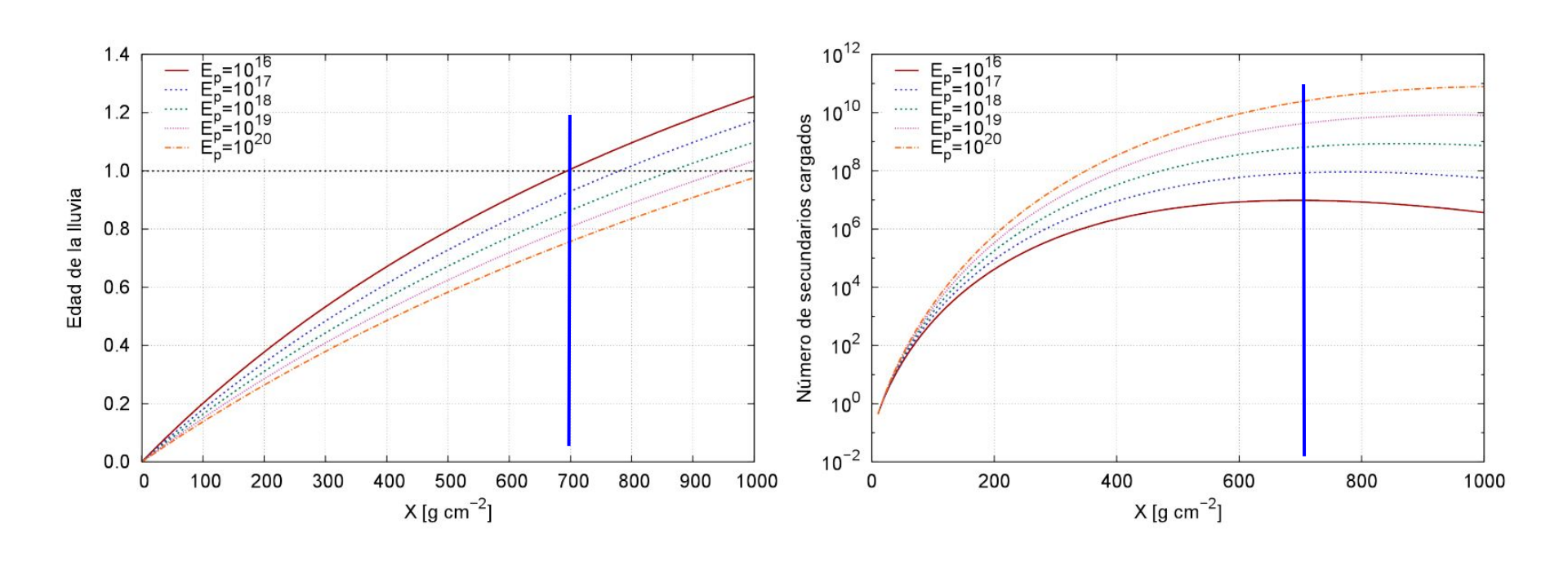
Dos canales de interacción



Longitud de interacción electromagnética:

- Un e⁻ pierde ~63% por frenado
- Un fotón recorre 7/9 del camino libre medio de producción de pares

$$X_{EM} = 37.1 \text{ gcm}^{-2}$$



Radio de Molière

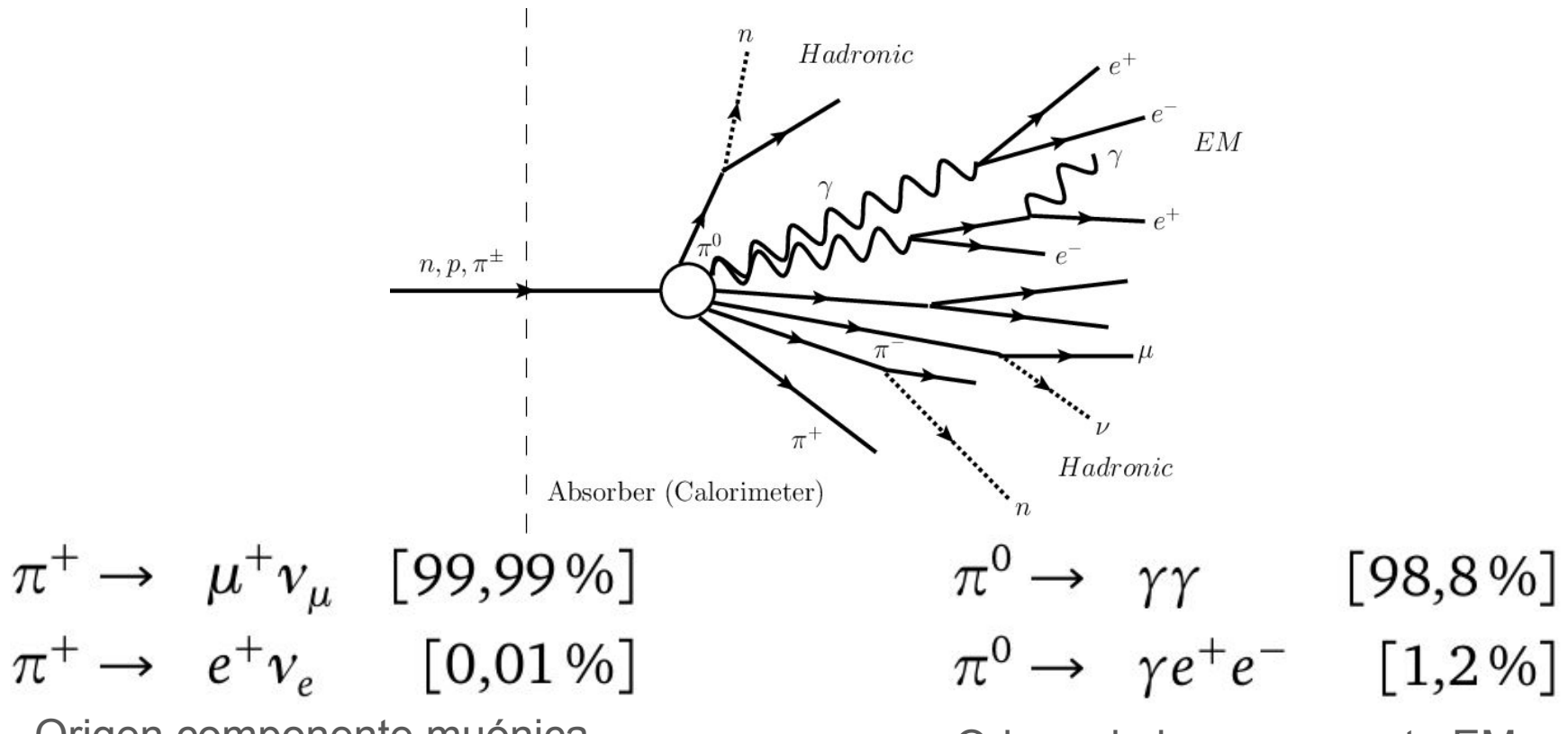
 X_m a la dispersión en la dirección transversal que experimenta un electrón con energía igual a ${\sf E^{EM}}_{\sf c}$ luego de atravesar una cantidad de materia igual a X_{EM} , y está dado por:

$$X_m = \sqrt{\frac{4\pi}{\alpha_{\rm EM}}} \frac{m_e c^2}{E_c^{\rm EM}} X_{\rm EM} \simeq 9.3 \text{ g cm}^{-2}$$

Experimentalmente se verifica que aproximadamente el 90 % de la energía depositada por la cascada se encuentra contenida en un cilindro de radio X_m

$$R_m(h) \equiv \frac{X_m}{\rho(h)}$$
 Al nivel del mar y en condiciones atmosféricas estándar, $R_m \sim 78$ m.

Lluvias iniciadas por un hadrón



Origen componente muónica

Origen de la componente EM

Lluvias iniciadas por un hadrón: Heitler-Matthews

En el modelo de Heitler–Matthews para la **cascada hadrónica**, la suposición estándar es:

- en cada interacción hadrón—aire se producen n_{tot} piones,
- con fracciones isospín-simétricas: ~ 2/3 cargados (π±) y ~1/3 neutros (π0)

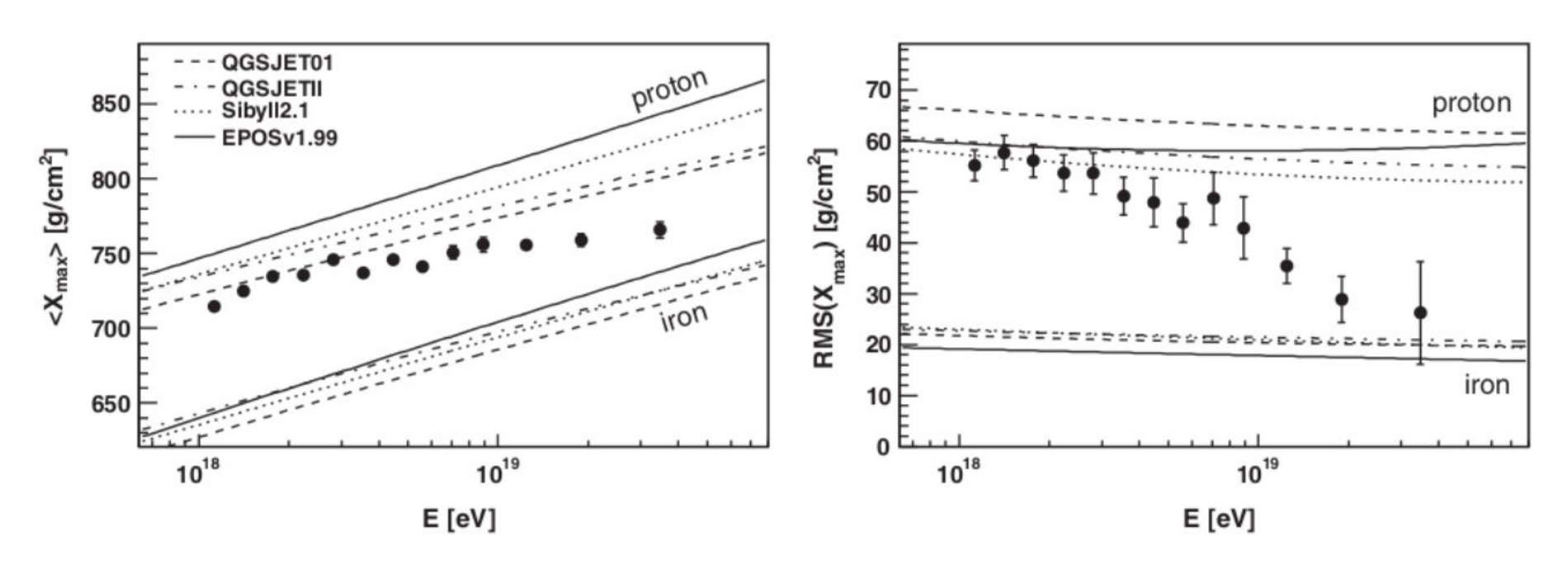
Es decir, la cascada produce Nch cargados y ½ Nch neutros en promedio.

Lluvias iniciadas por un hadrón: Heitler-Matthews

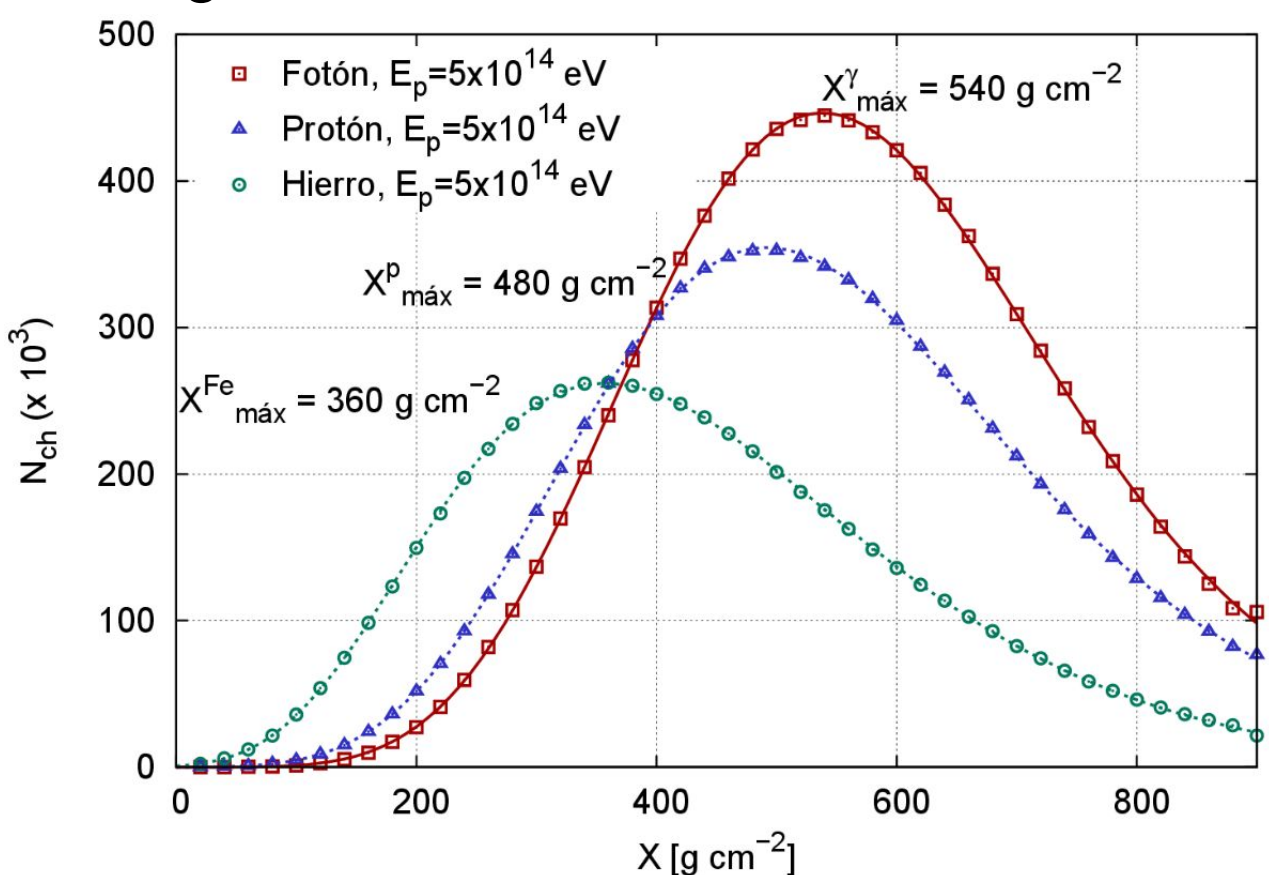
$$n,p,\pi^{\pm}$$
 $N_{\mu}=(N_{
m ch})^{eta_{\pi}}$ $N_{\mu}=(N_{
m ch})^{eta_{\pi}}$

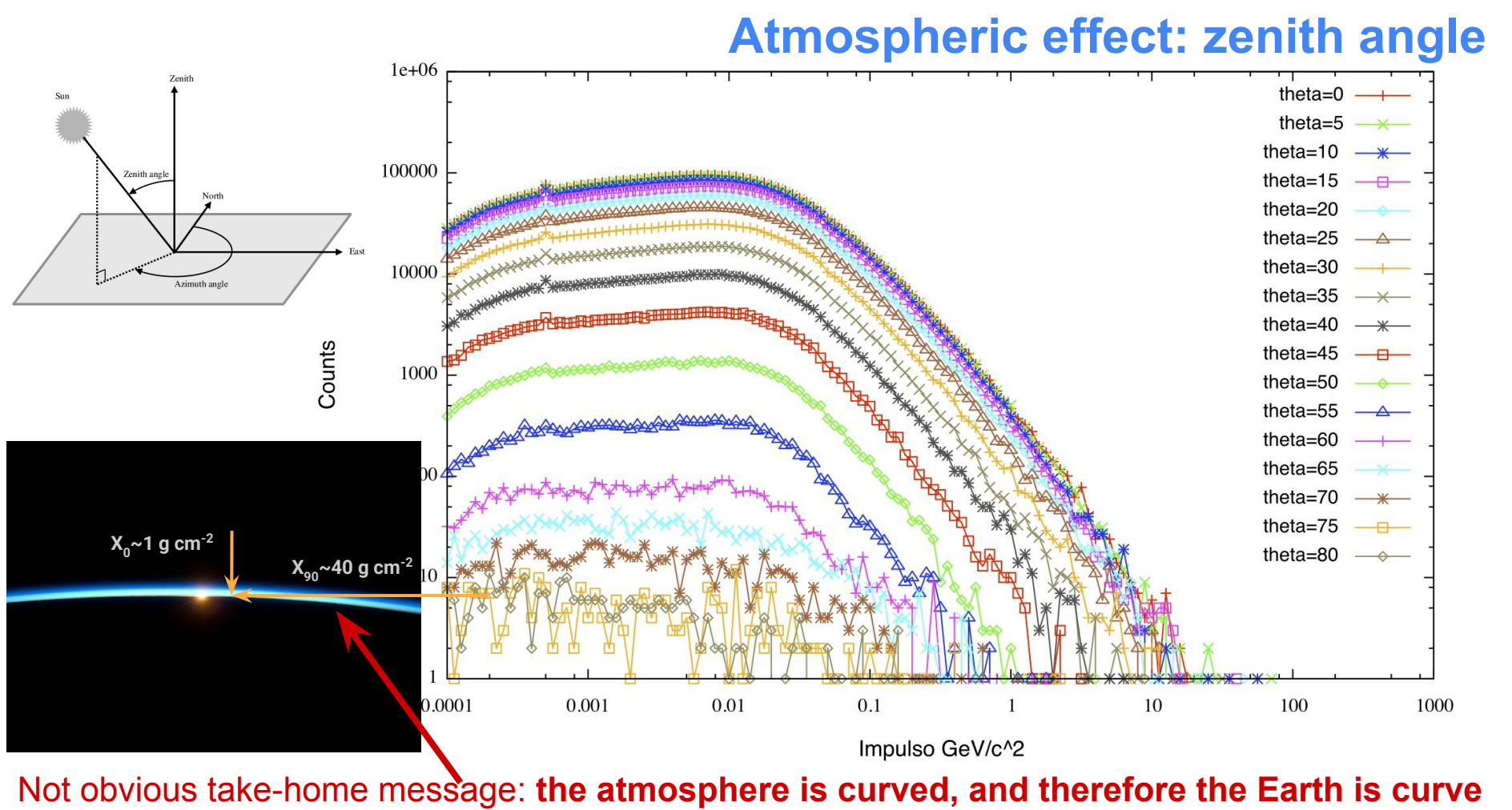
 $egin{array}{lll} egin{array}{lll} egin{arra$

Lluvias: Proton Vs Fe

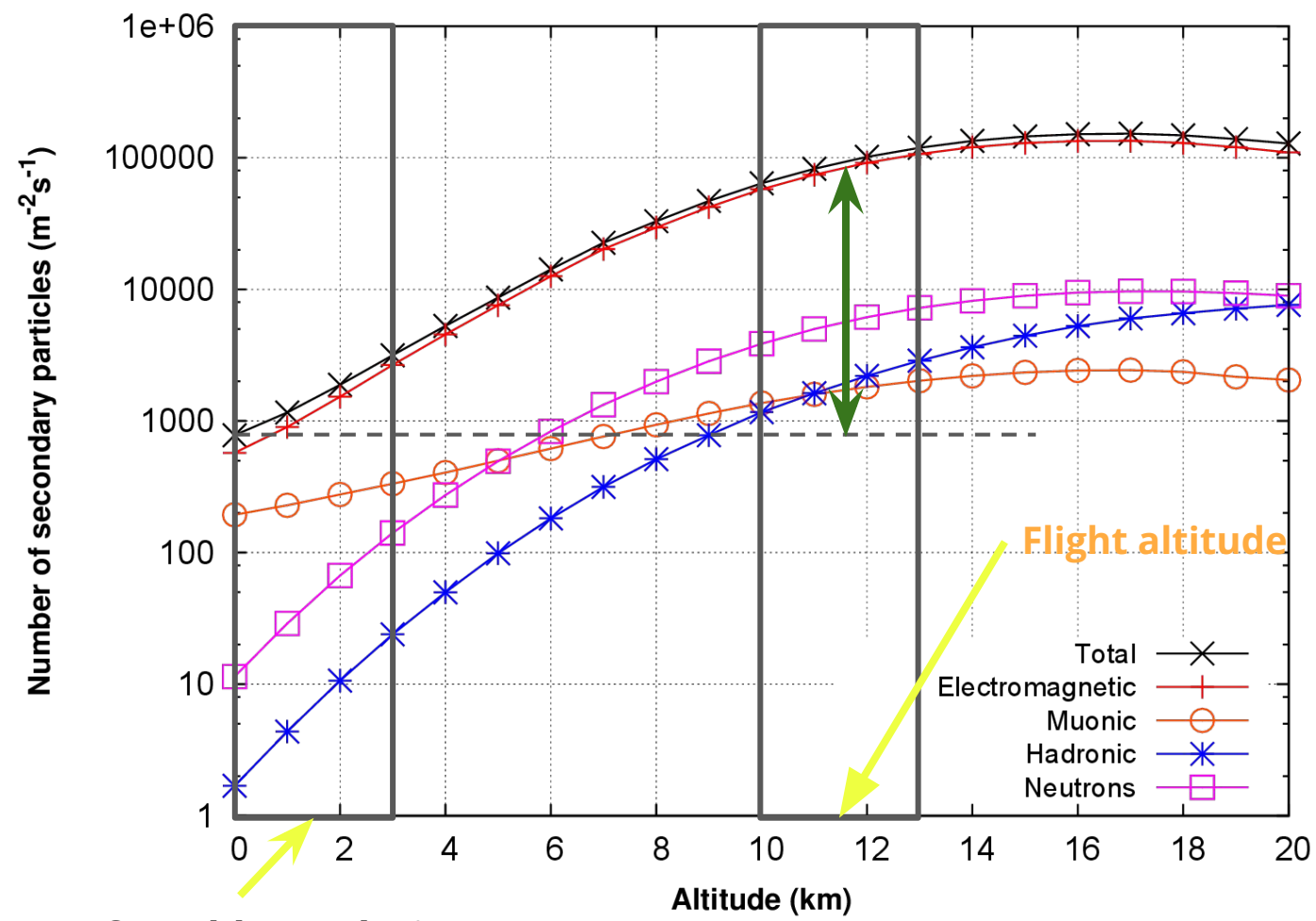


Desarrollo longitudinal de las lluvias





from my lectures



Altitude effect

99% of world population

H.A. and L. Núñez, AIP Conference Proceedings 1693, 060008 (2015); https://doi.org/10.1063/1.4937213

Gracias